

بررسی عددی و تحلیلی اثرات تفرق حرارتی بر انتقال حرارت جریان نانوسیال درون یک کانال *حیب‌اله سایه‌وند^(۱) امیر بصیری پارسا^(۲)

چکیده در مطالعه حاضر انتقال حرارت جریان نانوسیال از داخل یک کانال با آرایش‌های مختلفی از تزریق نانوذرات به‌عنوان عناصر تفرق حرارتی، بررسی شده است. در پدیده انتقال حرارت حضور نانوذرات در جریان سیال به‌عنوان یکی از مهم‌ترین عوامل ایجاد تفرق یا پراکندگی حرارتی شناخته می‌شود. در این پژوهش نحوه توزیع عناصر تفرق حرارتی یا همان نانوذرات در کانال به سه صورت توزیع در منطقه مرکزی، توزیع در منطقه نزدیکی دیوار و توزیع در کل کانال در نظر گرفته شده است. اعتبارسنجی نتایج توسط راه‌حل تحلیلی برای یک وضعیت ساده مسئله و همچنین مقایسه با نتایج ارائه شده در مقالات گذشته، انجام شده است. حضور نانوذرات در منطقه مرکزی کانال، عدد ناسلت و ویژگی‌های انتقال حرارت را به شکل صعودی افزایش می‌دهد؛ اما برای آرایش مرزی، افزایش ضخامت نانوذرات تزریق شده منجر به یک رفتار صعودی-نزولی برای عدد ناسلت می‌شود، بنابراین در این توزیع، ضخامت بهینه‌ای برای عناصر تفرق به دست می‌آید. همچنین در بررسی توابع توزیع مختلف نانوذرات تزریق شده در کل کانال، مشاهده می‌شود که برخلاف توزیع سهموی که منجر به افزایش تقریباً خطی عدد ناسلت می‌شود، در توزیع نمایی و به‌خصوص به‌ازای مقادیر بزرگ‌تر ضریب تفرق، افزایش عدد ناسلت رفتاری غیرخطی دارد که مهم‌ترین وجه تمایز این دو تابع توزیع می‌باشد.

واژه‌های کلیدی انتقال حرارت؛ تفرق حرارتی؛ کانال؛ نانوسیال.

Numerical and Analytical Investigation of Thermal Dispersion Effects on the Heat Transfer of Nanofluid flow inside a Channel

H.-O. Sayehvand

A. Basiri Parsa

Abstract In the present study the heat transfer of nanofluid flow inside a channel with different arrangements of nanoparticles injection (dispersive elements) is investigated. In the heat transfer phenomena, nanoparticles presence in the fluid flow is known as one of the most important factor for the thermal dispersion. In this work, the distribution of dispersive elements or nanoparticles in the channel is considered to be uniformly distributed in the central region and near the walls. The validation of results is verified by the analytical solution for a simple state of the problem and also by comparison with previous published papers. The presence of the nanoparticels in the center region, increase the Nusselt number and heat transfer characteristics with an ascending form. For the boundary arrangement, increasing the thickness of injected nanoparticles lead to an ascending-descending behavior for Nusselt number. Therefore in this distribution, the optimum thickness for dispersive elements is obtained. Also it can be seen that the presence of the nanoparticels with parabolic distribution increase the Nusselt number with a univocal form. For the exponential arrangement, especially for large values of dispersive coefficient, increasing the Nusselt number has a nonlinear behavior that is the most important distinction of these two distribution functions.

Key Words Channel; Heat transfer; Nanofluids; Thermal dispersion

* تاریخ دریافت مقاله ۹۵/۶/۳ و تاریخ پذیرش آن ۹۵/۱۲/۲۳ می‌باشد. DOI: 10.22067/fum-mech.v29i2.58387

(۱) نویسنده مسئول: استادیار، مهندسی مکانیک، دانشگاه بوعلی سینا، همدان. hsayeh@basu.ac.ir

(۲) دانشجوی دکتری، مهندسی مکانیک، دانشگاه بوعلی سینا، همدان.

مقدمه

تولید حرارت در بسیاری از فرایندهای صنعتی اجتناب ناپذیر است که برای خارج شدن این حرارت از سیستم معمولاً از جریان یک سیال به عنوان خنک‌کن و ناقل حرارت استفاده می‌شود. به عبارت دیگر، پدیده انتقال حرارت، برای کنترل دمای سیستم و خروج حرارت مازاد نقش ویژه و مهمی را دارد. از نقطه نظر تئوری و عملی، به منظور افزایش بازده انتقال حرارت در تجهیزاتی نظیر مبدل‌های حرارتی، دو عامل هدایت حرارتی سیال حامل انرژی و ضریب انتقال حرارت جابه‌جایی، نقش اساسی را بر عهده دارند. با افزایش رقابت جهانی در زمینه صنایع مختلف و نقش انرژی در هزینه تولید، این صنایع به شدت به سمت توسعه سیالات پیشرفته و جدید با شاخص‌های حرارتی بالا پیش می‌روند. یکی از روش‌هایی که اخیراً مورد توجه محققان قرار گرفته است، افزودن نانوذرات فلزی و یا غیرفلزی با هدایت حرارتی بالاتر نسبت به سیالات پایه نظیر آب است. سوسپانسیون حاصل از افزودن ذرات در اندازه نانو به سیال پایه، نانوسیال نامیده می‌شود. البته افزودن این ذرات باعث بروز مسائل متعددی از جمله ساییدگی و افزایش افت فشار و رسوب و عدم پایداری سوسپانسیون نیز می‌شود. در سال‌های اخیر مطالعات متعددی در زمینه بررسی بازده انتقال حرارت در نانوسیالات انجام گرفته است. نتایج گزارش شده از افزایش بازده انتقال حرارتی نانوسیالات توسط مراکز تحقیقاتی مختلف و محققان با یکدیگر متفاوت است. مسئله افزایش بازده حرارتی نانوسیال در اثر حضور نانوذرات در دو دیدگاه متفاوت بررسی می‌شود. از دیدگاه اول، افزایش ضریب هدایت مؤثر نانوسیال در اثر حضور نانوذرات با هدایت حرارتی بالا موجب افزایش قابل توجهی در انتقال حرارت نانوسیال می‌گردد و این افزایش قابل توجه در انتقال حرارت نیاز به ایجاد قدرت پمپاژ زیاد را برای افزایش قدرت جابه‌جایی

منتفی می‌گرداند. اما دیدگاه دوم ادعا می‌کند که افزایش انتقال حرارت در اثر افزایش ضریب هدایت مؤثر نانوسیال چندان چشم‌گیر نیست و به منظور افزایش بیشتر و مورد نظر در میزان انتقال حرارت، با توجه به کاهش ظرفیت حرارتی نانوسیال در مقایسه با سیال پایه، با افزایش قدرت پمپاژ و در نتیجه افزایش انتقال حرارت جابه‌جایی می‌توان به شرایط مطلوب دست یافت [1]. ژوان و لی [2] انتقال حرارت جابه‌جایی و جریان سیال نانو را در داخل لوله مطالعه کردند. نتایج آزمایش آنها نشان‌دهنده افزایش ضریب انتقال حرارت جابه‌جایی و عدد ناسلت با افزایش عدد رینولدز و تراکم حجمی نانوذره در جریان توربولانس است. در مقایسه با آب، استفاده از نانوذرات مس با تراکم حجمی 2%، موجب افزایش 39% در عدد ناسلت می‌شود. ویلیامز و همکاران [3] نانوسیالات Al_2O_3 و ZrO_2 در آب را در جریان داخل لوله افقی با شار حرارتی ثابت بررسی کردند. آنها دریافتند که در جریان توربولانس ($3000 < Re < 6300$) عدد ناسلت می‌تواند با رابطه دیتوس-بولتر (Dittus-Boelter)، وقتی خواص نانوسیال در رابطه جاگذاری شود، به دست آید. این نتایج پیشنهاد می‌کند که هیچ مکانیزم جدیدی در انتقال حرارت برای نانوسیالات وجود ندارد. رئا و همکاران [4] با استفاده از نانوسیالات Al_2O_3 و ZrO_2 در آب در جریان آرام در حال توسعه گرمایی دریافتند که اعداد ناسلت محلی اندازگیری شده از آزمایش با نتایج تحلیلی مطابقت دارد. نتایج آنها در جریان آرام نشان می‌دهد که نانوسیالات رفتاری مشابه با مخلوط‌های همگن از خود نشان می‌دهند. فتوکیان و اصفهانی [5] انتقال حرارت جابه‌جایی و افت فشار را در نانوسیال رقیق آب و اکسید مس در جریان توربولانس به صورت آزمایشگاهی مطالعه کردند. نتایج آزمایش‌های آنها نشان می‌دهد که مقاومت در برابر جاری شدن حتی در تراکم پایین نانوذرات نسبت به سیال پایه چشم‌گیر است و رابطه تئوری بونگورنو

اثرات پراکندگی حرارتی در نانوسیالات را می‌توان در برخی از آثار اخیر [11-16] یافت. لی و ژوان [17] افزایش 60% در انتقال حرارت هم‌رفتی در داخل یک کانال پر شده با نانوسیال را گزارش کردند. این افزایش قابل توجه نشان می‌دهد که پراکندگی یا تفرق حرارتی مکانیسم اصلی برای انتقال حرارت در داخل جریان هم‌رفتی است. چالش جدید پیدا کردن روش دیگری برای بهبود عملکرد سیستم‌های خنک‌کننده است. همچنین افزایش انتقال حرارت جابه‌جایی در داخل کانال از طریق کنترل اثرات تفرق حرارتی توسط خالد و وفایی [18] مورد تحلیل قرار گرفته است.

شاه‌نظری و همکاران [19] دو دیدگاه تک‌فازی و دوفازی در انتقال حرارت در داخل یک کانال دویعدی پر شده با ماده متخلخل با دمای دیواره ثابت را به‌طور جداگانه مورد بررسی قرار داده‌اند. همچنین اثرات تفرق حرارتی جریان نانوسیال غیرنیوتنی روی یک صفحه عمودی توسط کامسباران و سیبانداندا [19] مورد بررسی قرار گرفته است.

در تحقیق حاضر، روشی برای افزایش شاخصه‌های انتقال حرارت از طریق استفاده از نانوسیال با خواص پراکندگی حرارتی مناسب پیشنهاد شده و مورد تجزیه و تحلیل قرار گرفته است. این افزایش در انتقال حرارت نانوسیال را می‌توان به دو روش خاص کنترل کرد. روش اول بر پایه انتخاب یک توزیع مناسب برای نانوذرات پخش شده در داخل کانال می‌باشد؛ روش دوم کنترل اثرات تفرق حرارتی نانوذرات از طریق تزریق جزئی ذرات نانو با دو آرایش تزریق مرکزی و تزریق مرزی می‌باشد. همچنین کنترل اثرات تفرق حرارتی و در نهایت میزان انتقال حرارت صورت گرفته در نانوسیال علاوه بر دو روش ذکر شده به عوامل دیگری همچون اندازه نانوذرات، خواص فیزیکی نانوذرات، حضور نیروهای مغناطیسی همراه با نانوذرات مغناطیسی، نیروهای گریز از مرکز و نیروهای الکترواستاتیک همراه با نانوذرات باردار الکتریکی

نتایج آزمایشگاهی را به‌خوبی پیش‌بینی می‌کند. پاک و چو [6] انتقال حرارت و اصطکاک نانوسیال‌های آب-اکسید آلومینیوم و آب-دی‌اکسید تیتانیوم را در لوله به‌صورت آزمایشگاهی مطالعه کردند. آزمایش‌های آنها نشان داد که ضریب انتقال حرارت جابه‌جایی در تراکم حجمی 3%، به‌میزان 12% از سیال خالص بیشتر است. این در حالی است که افزایش چشم‌گیری در ویسکوزیته نسبت به سیال پایه صورت می‌گیرد. بیانکو و همکاران [7] جابه‌جایی اجباری در لوله را در جریان توربولانس به‌روش عددی مطالعه کردند. آنها از روشی تک‌فاز و دوفاز برای شبیه‌سازی عددی استفاده کردند و نتایج آنها توافق خوبی با روابط ارائه شده دارد. بهزاد مهر و همکاران [8] انتقال حرارت جابه‌جایی اجباری را درون یک لوله دایره‌ای در محیط نانوسیال آب-اکسید مس (Water/Cuo) با دو روش تک‌فازی و دوفازی مطالعه کردند. آنها گزارش کردند که نتایج تحلیل دوفازی به نتایج داده‌های آزمایشگاهی نزدیک‌تر است. در عوض یو و همکاران [9] در مؤسسه آرگون در سال 2011 در یک جمع‌بندی عنوان کردند که به‌منظور پیش‌بینی ضریب انتقال حرارت جابه‌جایی در جریان آشفته و در تراکم‌های پایین نانوذرات، می‌توان نانوسیال را یک محیط همگن در نظر گرفت و از تئوری‌های تک‌فازی برای محاسبه انتقال حرارت استفاده کرد.

مطابق با تحقیقات صورت گرفته انتظار می‌رود که انتقال حرارت در نانوسیالات، در اثر افزایش سرعت ناشی از اثرات اختلاطی مرتبط با حرکت براونی نانوذرات، بیشتر شود. این اثرات اختلاطی در اصطلاح به‌عنوان اثر پراکندگی یا تفرق حرارتی [10] شناخته می‌شود؛ لذا به‌دلیل وابستگی این پراکندگی حرارتی به حضور نانوذرات، به این ذرات ریز معلق در سیال پایه در اصطلاح ترموفیزیکی عناصر پراکندگی یا تفرق حرارتی می‌گویند. لازم به ذکر است که از اینجا به بعد، در متن این مقاله مقصود از اصطلاح عناصر تفرق، همان نانوذرات می‌باشد. بررسی جنبه‌های دیگری از

مقاله می‌توان به بررسی تغییرات عدد ناسلت روی دیواره در طول کانال اشاره کرد. همچنین بررسی اثرات ضخامت منطقه تفرق حرارتی بر توزیع دمای بی‌بعد عرضی ناحیه توسعه یافته حرارتی در دو آرایش مرکزی و مرزی و توجه دقیق‌تر به تأثیرات عدد پکله بر ویژگی‌های حرارتی مسئله و ویژگی برجسته دیگر این مقاله می‌باشد. ضمناً در مقاله حاضر به بررسی اثرات کسر حجمی عناصر تفرق (نانوذرات) و ضریب تفرق حرارتی بر عدد ناسلت دیواره در ناحیه توسعه یافته حرارتی برای سه تابع توزیع یکنواخت، سهموی و نمایی نانوذرات پرداخته شده است.

مدلسازی ریاضی

جریان سیال داخل کانال دوبعدی به ارتفاع $2h$ و طول B در نظر گرفته می‌شود. محور x در امتداد خط مرکزی کانال و محور y در جهت عمود بر آن فرض می‌شود (شکل ۱). سیال عبوری که می‌تواند به صورت سیال خالص و یا نانو سیال باشد، یک سیال نیوتنی با خواص متوسط ثابت (به جز هدایت حرارتی برای محاسبه اثرات پراکندگی حرارتی) فرض شده است که با دمای T_1 وارد کانال می‌شود. شار گرمایی یکنواخت و ثابت q به دو دیواره کانال اعمال می‌شود. معادله انرژی در این شرایط به صورت زیر است [18]:

$$\rho c_p u \frac{\partial T}{\partial x} = \frac{\partial}{\partial y} \left(k \frac{\partial T}{\partial y} \right) \quad (1)$$

میدان سرعت u در داخل کانال توسعه یافته فرض می‌شود. حجم عناصر تفرق بسیار کوچک است به طوری که پروفیل سرعت را می‌توان به شکل سهموی در نظر گرفت.

بستگی دارد. توزیع‌های مختلفی از نانوذرات را می‌توان با استفاده از ترکیباتی متفاوت از روش‌های فوق به دست آورد. به عنوان مثال، نانوذرات چگال‌تر مانند نانوذرات مس و یا ذرات با اندازه بزرگ‌تر تمایل به تعلیق در ارتفاعات پایین‌تر در ماده مبرد را دارند. با این حال، نانوذرات با چگالی کمتر مانند نانوذرات کربن و یا ذرات با اندازه کوچک‌تر تمایل به تعلیق در ارتفاعات بالاتر مایعات چگال‌تر مانند محلول‌های آبی و فلزات مایع را دارند؛ به این ترتیب، خواص پراکندگی حرارتی غیرهمگن را می‌توان به دست آورد. اثرات گریز از مرکز تمایل به تولید خواص پراکندگی حرارتی متمرکز در نزدیکی حداقل یکی از مرزها را دارد. حرکت براونی محیط مویین معلق موجب افزایش خواص پراکندگی حرارتی به خصوص در نزدیکی صفحات دستگاه‌های خنک‌کننده می‌شود و می‌توان آن را با یک سیستم تعلیق مناسب برای به دست آوردن هرگونه خواص پراکندگی حرارتی مورد نیاز استفاده کرد.

در این تحقیق، افزایش انتقال حرارت در داخل یک کانال پر شده با مایع مبرد همراه با خواص پراکندگی حرارتی مختلف، تحلیل می‌شود. ترتیبات مختلف برای نانوذرات و یا عناصر پراکنده در نظر گرفته می‌شود. در یک آرایش خاص، نانوذرات یا همان عناصر پراکنده به صورت یکنواخت در نزدیکی مرکز کانال ترتیبات توزیع شده است. در آرایش دیگر، آنها به طور یکنواخت در نزدیکی مرز کانال توزیع شده‌اند. معادلات انرژی برای هر کدام از مناطق مربوطه به شکل بی‌بعد در خواهند آمد. نتایج عددی برای عدد ناسلت و توزیع درجه حرارت ارائه شده است. لازم به ذکر است که در مقاله حاضر با بهره‌گیری از مدلسازی و معادلات حاکم مقاله خالد و وفایی [18]، جنبه‌های مستقلی از مسئله مورد توجه قرار گرفته است و توجه به پارامترهای فیزیکی مهم و بررسی دقیق توزیع‌های مختلف نانوذرات، هدف کار حاضر بوده است.

از جمله نتایج مستقل و نوآوری‌های موجود در این

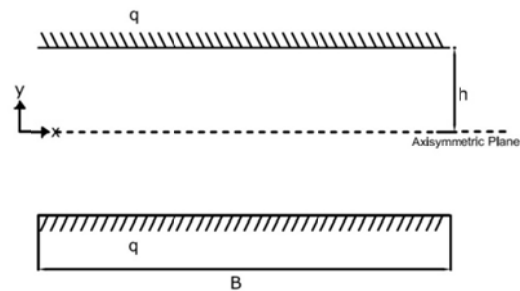
کردند:

$$k = k_0 + C^* (\rho c_p)_{nf} \phi hu \quad (4)$$

ضریب تفرق حرارتی نانوسیال (C^*) وابسته به ویژگی‌های فیزیکی نانوذرات (عناصر تفرق حرارتی) می‌باشد [18]. به عبارت دیگر، اندازه و شکل فیزیکی نانوذرات پارامترهای تعیین‌کننده ضریب تفرق حرارتی می‌باشد. معادله (4) یک برآورد اولیه برای تعیین هدایت حرارتی نانوسیال می‌باشد که آن را به صورت خطی به ظرفیت حرارتی نانوذرات شناور در سیال مرتبط می‌کند. مطابق با این رابطه، k_0 هدایت حرارتی مؤثر نانوسیال در شرایط سکون ($u = 0$) می‌باشد. با ایجاد جریان در میدان سیال، هدایت حرارتی مؤثر نانوسیال باتوجه به خواص هندسی نانوذرات و از طریق پارامتر C^* ، مطابق با معادله (4) تغییر می‌کند. به لحاظ فیزیکی معادله فوق یک تقریب درجه اول برای هدایت حرارتی نانوسیال است که دارای یک رابطه خطی با ظرفیت گرمایی ذرات نانو می‌باشد. هدایت حرارتی مؤثر نانوذرات تحت شرایط سکون ($u = 0$) از رابطه پیشنهاد شده توسط واسپ [21] به دست می‌آید:

$$\frac{k_0}{k_f} = \frac{k_p + 2k_f - 2\phi(k_f - k_p)}{k_p + 2k_f + 2\phi(k_f - k_p)} \quad (5)$$

در این تحقیق از نانوذرات مس در آب به عنوان سیال پایه استفاده می‌شود. خواص ترموفیزیکی آنها در جدول (1) ارائه شده است. باتوجه به رابطه (5)، وجود 2% کسر حجمی نانوذرات مس در داخل سیال به میزان 8% مقدار k_p را نسبت به هدایت حرارتی سیال خالص افزایش می‌دهد. از سوی دیگر، نتایج تجربی در کار لی و ژوان [17] نشان می‌دهد که حضور نانوذرات معلق مس با 2% کسر حجمی، حدود 60% ضریب انتقال حرارت جابه جایی را درمقایسه با سیال خالص



شکل 1 دیاگرام شماتیک و سیستم مختصات

$$\frac{u}{u_m} = \frac{3}{2} \left(1 - \left(\frac{y}{h} \right)^2 \right) \quad (2)$$

وقتی u_m سرعت متوسط جریان است. برای نانوسیال یا همان رژیم تفرق حرارتی پارامتر ρc_p باید به صورت $(\rho c_p)_{nf}$ تعریف شود [17]:

$$(\rho c_p)_{nf} = (1 - \phi)(\rho c_p)_f + \phi(\rho c_p)_p \quad (3)$$

درحالی که زیرنویس های f و p به ترتیب به نانوسیال یا همان رژیم تفرق، سیال خالص و ذرات جامد اشاره دارند. پارامتر ϕ هم کسر حجمی المانهای تفرق یا همان نانوذرات است که برابر با نسبت حجم ذرات نانو به حجم کل است. ذرات معلق فوق العاده ریز از قبیل نانوذرات، نانولوله‌ها یا عناصر تفرق در سیال نقش مهمی در انتقال حرارت در داخل کانال بازی می‌کنند که این نقش به واسطه حرکت براونی (Brownian motion) است که تمایل به افزایش اختلاط سیال دارد. این عامل انتقال حرارت را افزایش می‌دهد. تصحیحات ارائه شده در مقاله لی و ژوان [17] برای اعداد ناسلت در جریانهای لایه‌ای یا آشفته نشان می‌دهد که انتقال حرارت در حضور نانوذرات افزایش می‌یابد که این میزان در اثر افزایش کسر حجمی نانوذرات، قطر نانوذرات و سرعت جریان، بیشتر نیز خواهد شد. ژوان و روتزل [10] برپایه مدل ارائه شده در مرجع [17] مدل خطی زیر را برای هدایت حرارتی مؤثر نانوسیال ارائه

در این تحقیق بخشی از حجم سیال تحت تأثیر اثرات پراکندگی حرارتی وابسته به ذرات معلق نانو در نظر گرفته می‌شود، درحالی‌که بخش دیگر تنها حاوی سیال خالص است. بارزترین روش برای به‌دست آوردن توزیع خاص برای عناصر پراکنده حرارتی، داشتن سطوح گسترش‌یافته موین هادی روی صفحات کانال است. حجم این ساختار به‌اندازه کافی کوچک است که فرض توزیع سهموی برای میدان سرعت هم‌چنان معتبر است. همچنین، خواص پراکندگی حرارتی غیر همگن را می‌توان با داشتن نانوذرات با تراکم‌های مختلف و یا اندازه‌های مختلف به‌دست آورد. نانوذرات یا عناصر پراکنده سنگین‌تر به‌دلیل نیروهای گرانشی تمایل به تعلیق نزدیک به صفحه پایینی دارند، درحالی‌که نانوذرات یا عناصر پراکنده سبک‌تر به‌علت نیروهای شناوری تمایل به تعلیق نزدیک به صفحه بالایی را دارند. با دادن خاصیت مغناطیسی به ذرات نانو و اعمال میدان مغناطیسی متمرکز مناسب می‌توان عناصر پراکنده یا همان نانوذرات را بیشتر در نزدیکی دیواره‌های کانال متمرکز کرد. به‌این ترتیب، تفاوت در خواص پراکنده حرارتی نانو سیال می‌تواند به‌دست آید. خواص پراکنده حرارتی مناسب می‌تواند با استفاده از روش‌های مختلف بحث شده و توسط معادلات (۳-۵) به‌دست آید. معادله انرژی بی‌بعد برای بخش شامل پراکندگی حرارتی (حضور نانوذرات) به‌شکل زیر است:

$$Pe_f \left(\frac{(\rho c_p)_{nf}}{(\rho c_p)_f} \right) U_{nf} \frac{\partial \theta_{nf}}{\partial X} = \frac{\partial}{\partial Y} \left(\left(\frac{k_0}{k_f} + \lambda \frac{(\rho c_p)_{nf}}{(\rho c_p)_f} \phi U_{nf} \right) \frac{\partial \theta_{nf}}{\partial Y} \right) \quad (10)$$

درحالی‌که معادله انرژی برای حجم حاوی سیال خالص عبارت است از:

افزایش می‌دهد. این نشان می‌دهد که تفرق حرارتی مکانیسم اصلی برای افزایش انتقال حرارت در داخل کانال پر شده با نانو سیال در شرایط هم‌رفتی است. بی‌بعدسازی معادله (۱) با متغیرهای بی‌بعد زیر صورت می‌گیرد [18]:

$$X = \frac{x}{h}, Y = \frac{y}{h}, U = \frac{u}{u_m}, \theta = \frac{T - T_1}{qh / k_f} \quad (6)$$

با جای‌گذاری متغیرهای بی‌بعد فوق در معادله (۱) می‌توان نوشت:

$$PeU \frac{\partial \theta}{\partial X} = \frac{\partial}{\partial Y} \left(\frac{k}{k_f} \frac{\partial \theta}{\partial Y} \right) \quad (7)$$

درحالی‌که عدد پکله (Peclet number) به‌شکل زیر تعریف می‌شود:

$$Pe = \left(\frac{\rho c_p u_m h}{k_f} \right) \quad (8)$$

باتوجه به مدل ارائه‌شده در مرجع [17] می‌توان نوشت:

$$\frac{k}{k_f} = \frac{k_0}{k_f} + \lambda \frac{(\rho c_p)_{nf}}{(\rho c_p)_f} \phi U_{nf}, \quad \lambda = C^* Pe_f, \quad (9)$$

$$Pe_f = \left(\frac{(\rho c_p)_f u_m h}{k_f} \right)$$

جدول ۱ خواص ترموفیزیکی سیال پایه و نانوذرات

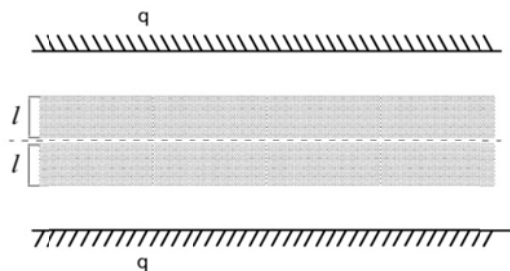
ویژگی فیزیکی	سیال پایه (آب)	نانوذرات (مس)
$k(W / mK)$	0.6	391
$c_p(kJ / kg K)$	4.192	0.398
$\rho(kg / m^3)$	997.1	8933

در معادلات فوق $\Lambda = l/h$ ضخامت بی بعد منطقه تفرق. البته می توان توزیع های دیگری از جمله توزیع سهموی یا نمایی را برای عناصر تفرق در نظر گرفت. در مسئله حاضر تعداد کل عناصر تفرق (ذرات نانو) ثابت در نظر گرفته می شود. به این ترتیب، کسر حجمی عناصر تفرق برای آرایش مرکزی و یا مرزی در توزیع یکنواخت، به ضخامت آنها بستگی دارد و از رابطه زیر به دست می آید [18]:

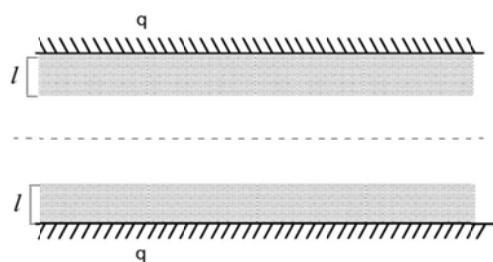
$$\varphi = \frac{\varphi_0 h}{l} = \frac{\varphi_0}{\Lambda} \quad (14)$$

در این رابطه φ_0 کسر حجمی نانوسیال وقتی که کل کانال را پر کرده است، می باشد.

در عمل، ایجاد توزیع های متفاوت (غیریکنواخت) برای پخش ذرات نانو در جریان سیال نسبت به توزیع یکنواخت دارای پیچیدگی ها و دشواری هایی خواهد بود، اما با تکنولوژی و تجهیزات مدرن امروزی غیرممکن نیست.



شکل ۲ آرایش مرکزی برای ناحیه تفرق حرارتی (ناحیه تزریق نانوذرات)



شکل ۳ آرایش مرزی برای ناحیه تفرق حرارتی (ناحیه تزریق نانوذرات)

$$Pe_f U_f \frac{\partial \theta_f}{\partial X} = \frac{\partial^2 \theta_f}{\partial Y^2} \quad (11)$$

در این کار توزیع های مختلفی برای نانوذرات ارائه خواهد شد. در یکی از این توزیع ها همان طور که در شکل (۲) نشان داده شده است، منطقه ای که با اثرات پراکندگی حرارتی (نانوذرات) در نظر گرفته می شود، منطقه ای مستطیل شکل به ارتفاع $2l$ حول خط مرکزی کانال است. در توزیع دیگر منطقه شامل اثرات پراکندگی حرارتی (نانوذرات) تنها در دو منطقه مستطیل شکل چسبیده به دیواره های کانال با ارتفاع یکسان l در نظر گرفته می شود (شکل ۳). شرایط مرزی برای آرایش مرکزی (آرایش نوع اول) به صورت زیر است:

$$\begin{aligned} \frac{d\theta_{nf}(X,0)}{dY} &= 0, \\ \left(\frac{k_0}{k_f} + \lambda \frac{(\rho c_p)_{nf}}{(\rho c_p)_f} \varphi U(\Lambda) \right) \frac{d\theta_{nf}(X,\Lambda)}{dY} &= \\ \frac{d\theta_f(X,\Lambda)}{dY}, \\ \theta_f(X,\Lambda) &= \theta_{nf}(X,\Lambda), \\ \frac{d\theta_f(X,1)}{dY} &= 1 \end{aligned} \quad (12)$$

شرایط مرزی برای آرایش مرزی (آرایش نوع دوم) به صورت زیر است:

$$\begin{aligned} \frac{d\theta_f(X,0)}{dY} &= 0, \\ \left(\frac{k_0}{k_f} + \lambda \frac{(\rho c_p)_{nf}}{(\rho c_p)_f} \varphi U(1-\Lambda) \right) \frac{d\theta_{nf}(X,1-\Lambda)}{dY} &= \\ \frac{d\theta_f(X,1-\Lambda)}{dY}, \\ \theta_f(X,1-\Lambda) &= \theta_{nf}(X,1-\Lambda), \\ \left(\frac{k_0}{k_f} + \lambda \frac{(\rho c_p)_{nf}}{(\rho c_p)_f} \varphi U(1) \right) \frac{d\theta_f(X,1)}{dY} &= 1 \end{aligned} \quad (13)$$

در رابطه اخیر h_c ضریب انتقال حرارت جابه‌جایی بر روی صفحات کانال است و $\theta_w(X)$ دمای صفحات کانال در هر مقطع X از کانال است.

روش عددی

روش عددی مورد استفاده در این تحقیق برای حل معادلات دیفرانسیل حاکم، روش تفاضل محدود است. معادلات (۹ و ۱۰) با استفاده از تفاضل مرکزی سه نقطه در جهت Y و تفاضل رو به عقب (Backward) برای گرادیان دما در جهت X گسسته می‌شوند. در نتیجه سیستم سه‌قطری از معادلات جبری در $X = \Delta X$ حاصل می‌شود که با استفاده از الگوریتم توماس [22] حل خواهد شد. این روش برای مقادیر متوالی X از ناحیه ورودی کانال تا شرایط توسعه‌یافتگی گرمایی و زمانی که X به مقدار B برسد ادامه می‌یابد. لازم به ذکر است همان‌طور که قبلاً نیز عنوان شد، در معادلات حاکم بر مسئله پروفیل سرعت در داخل کانال توسعه‌یافته فرض شده است و از آنجا که حجم عناصر تفرق بسیار کوچک است پروفیل سرعت را می‌توان به شکل سهموی و معادله (۲) در نظر گرفت.

مطالعه شبکه. دستگاه معادلات غیر خطی حاکم بر مسئله، با استفاده از روش تفاضل محدود، در محیط برنامه نویسی فرترن (Fortran) و با الگوریتم ضمنی حل شده است. به منظور بررسی استقلال جواب‌های به‌دست‌آمده از شبکه حل، معادلات حاکم با استفاده از چندین شبکه حل شد. تأثیر شبکه بر پارامترهای مختلف به‌دقت مورد بررسی قرار گرفت. اگر تعداد تقسیمات شبکه در جهت محوری X با NX و تعداد تقسیمات شبکه در جهت عرضی Y با NY نشان داده شود آن‌گاه به‌ازای $NX * NY$ مختلف می‌توان حل معادلات را انجام داد. به‌عنوان نمونه در شکل (۴) پروفیل دما در ناحیه توسعه‌یافته حرارتی ($X = 50$) با

دو توزیع پرکاربرد در این زمینه شامل توابع سهموی و نمایی و توزیع سهموی به‌صورت زیر است [18]:

$$\varphi = \varphi_0 \left(1 + D_c \left(\frac{1}{3} - \left(\frac{y}{h} \right)^2 \right) \right) \quad (15)$$

$$\varphi = \frac{\varphi_0 D_e}{e^{D_e} - 1} e^{D_e Y} \quad (16)$$

باید توجه داشت که کسر حجمی متوسط برای هر توزیع بدون توجه به مقادیر D_c و D_e برابر φ_0 است. یکی از اهداف این پژوهش به‌دست آوردن مقادیری از D_c و D_e است که حداکثر انتقال حرارت را در داخل کانال تولید کند. با حل معادلات حاکم (۱۰ و ۱۱) تحت شرایط مرزی (۱۲ و ۱۳) می‌توان توزیع دمای داخل کانال را به‌دست آورد. دمای متوسط روی دیواره کانال ($\bar{\theta}_w$) از رابطه زیر قابل محاسبه می‌باشد:

$$\bar{\theta}_w = \frac{\int_0^B \theta(X, h) dX}{B} \quad (17)$$

همچنین دمای حجمی متوسط (θ_m) در هر مقطع X کانال از رابطه زیر محاسبه می‌شود:

$$\theta_m(X) = \int_0^1 U(Y) \theta(X, Y) dY \quad (18)$$

بنابراین عدد ناسلت روی دیواره کانال در هر مقطع از X را می‌توان به‌شکل زیر به‌دست آورد:

$$Nu = \frac{h_c h}{k_f} = \frac{1}{\theta_w(X) - \theta_m(X)} \quad (19)$$

با تعریف $A = \frac{k_0}{k_f} + \lambda \frac{(\rho c_p)_{nf}}{(\rho c_p)_f} \phi$ و همچنین حل معادلات دیفرانسیل ساده (۲۰ و ۲۱) برای آرایش مرکزی (شکل ۲ و شرایط مرزی ۱۲) به صورت زیر خواهد بود:

$$\frac{\theta_w(X) - \theta_{nf}(X, Y)}{\theta_w(X) - \theta_m(X)} = \frac{1.5(\Lambda^2 - Y^2) + 1.5A(1 - \Lambda^2)}{\Lambda^3 - A(\Lambda^3 - 1.5\Lambda^2 + 0.5) + 1.5A(1 - \Lambda^2)}, \quad (22)$$

$$0 < Y < \Lambda$$

$$\frac{\theta_w(X) - \theta_f(X, Y)}{\theta_w(X) - \theta_m(X)} = \frac{1.5A(1 - Y^2)}{\Lambda^3 - A(\Lambda^3 - 1.5\Lambda^2 + 0.5) + 1.5A(1 - \Lambda^2)}, \quad (23)$$

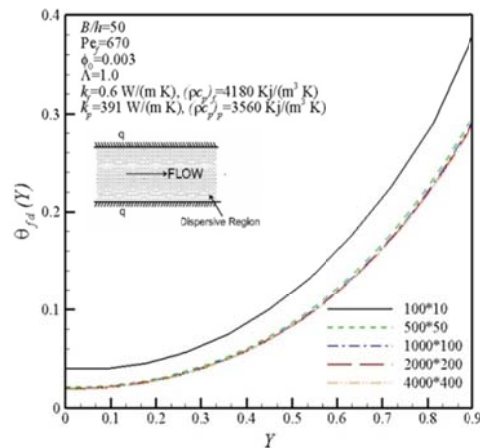
$$\Lambda < Y < 1$$

بنابراین عدد ناسلت روی دیواره کانال در هر مقطع از X در این حالت به صورت زیر خواهد بود:

$$Nu_{fd} = \frac{1}{\frac{\theta_w(X) - \theta_m(X)}{3A}} = \frac{3A}{\Lambda^3 - A(\Lambda^3 - 1.5\Lambda^2 + 0.5) + 1.5A(1 - \Lambda^2)} \quad (24)$$

اکنون با استفاده از حل تحلیلی انجام شده و مقایسه آن با نتایج حل عددی در حالت متناظر، اعتبارسنجی نتایج حاصل از حل عددی اختلاف محدود انجام خواهد گرفت. در شکل (۵) مقایسه دقیقی بین نتایج حل عددی و تحلیلی برای تأثیر ضریب تفرق بر عدد ناسلت روی دیواره کانال در ناحیه توسعه یافته حرارتی (۵۰) X و جریان یکنواخت برای مقادیر مختلف Λ در آرایش مرکزی نانوذرات ارائه شده است. همان طور که مشاهده می شود توافق بسیار خوب و دقیقی بین آنها وجود دارد که حاکی از صحت و دقت مناسب روش عددی مورد استفاده است.

فرض توزیع سهموی برای میدان سرعت برای جریان درحالتی که عناصر تفرق (نانوذرات) از کل عرض کانال می گذرند، داده شده است. مشاهده می شود وقتی تعداد گره های شبکه بیشتر از 1000×100 گره می شود، دیگر ظریف تر کردن شبکه تأثیری در حل انجام شده ندارد، بنابراین یک شبکه 1000×100 به عنوان شبکه حل انتخاب شده است.



شکل ۴ مطالعه و انتخاب شبکه

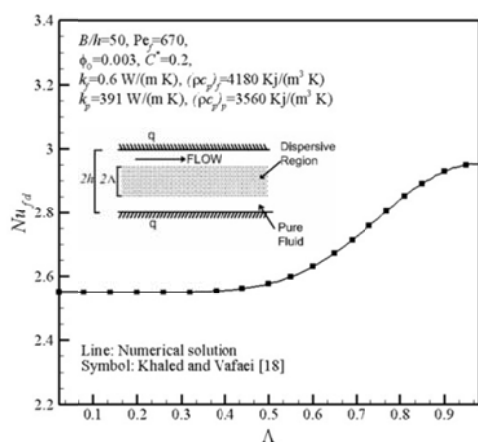
حل تحلیلی و اعتبارسنجی نتایج

با در نظر گرفتن حالت خاص و ساده شده ای از این مسئله شامل جریان توسعه یافته هیدرودینامیکی یکنواخت درون کانال به طوری که $U = 1$ باشد، معادلات حاکم (۱۰ و ۱۱) به صورت زیر ساده خواهند شد:

$$\frac{\partial^2 \theta_{nf}}{\partial Y^2} = \frac{1}{\left(\frac{k_0}{k_f} + \lambda \frac{(\rho c_p)_{nf}}{(\rho c_p)_f} \phi \right)} \quad (20)$$

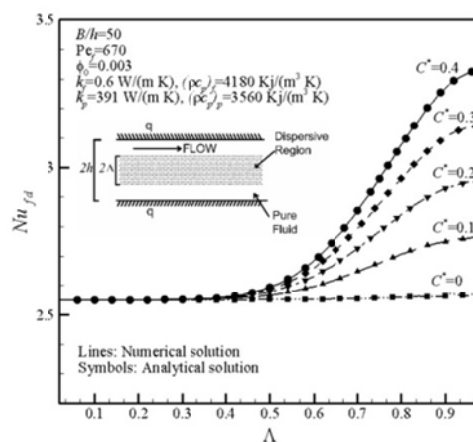
$$\frac{\partial^2 \theta_f}{\partial Y^2} = 1 \quad (21)$$

(شکل ۳)، منطقه شامل اثرات پراکندگی حرارتی (نانوذرات) تنها در دو منطقه مستطیل شکل چسبیده به دیواره‌های کانال با ارتفاع یکسان l در نظر گرفته می‌شود و ناحیه باقی‌مانده شامل حضور سیال خالص می‌باشد. در این قسمت به تحلیل و بحث در مورد نتایج این دو توزیع نانوذرات داخل کانال پرداخته می‌شود.



شکل ۶ مقایسه نتایج عددی برای تأثیر عدد پکله بر عدد ناسلت دیواره کانال در ناحیه توسعه‌یافته برای آرایش مرکزی

توزیع مرکزی. در شکل (۷) توزیع دمای عرضی داخل کانال در ناحیه توسعه‌یافته حرارتی به‌ازای مقادیر مختلف ضخامت ناحیه تزریق نانوذرات (Λ) و اعداد پکله مختلف نشان داده شده است. همان‌طور که انتظار می‌رود و مطابق شکل با افزایش ضخامت ناحیه حضور نانوذرات و نزدیک شدن این ناحیه به دیواره‌های کانال، پروفیل دمای بی‌بعد یا همان اختلاف دما به‌شدت کم می‌شود زیرا اثر مستقیم حضور نانوذرات افزایش ضریب انتقال گرما است که با توجه به شرط مرزی شار گرمای ثابت، اختلاف دما باید روند کاهشی داشته باشد. همچنین تفاوت شیب نمودارها در مرز بین ناحیه تفرق (نانوذرات) و ناحیه حضور سیال خالص قابل توجه است. همچنین با افزایش عدد پکله از $Pe_f = 250$ به $Pe_f = 800$ دمای عرضی نانوسیال



شکل ۵ مقایسه نتایج عددی و تحلیلی برای تأثیر ضریب تفرق بر عدد ناسلت دیواره کانال در ناحیه توسعه‌یافته حرارتی برای آرایش مرکزی

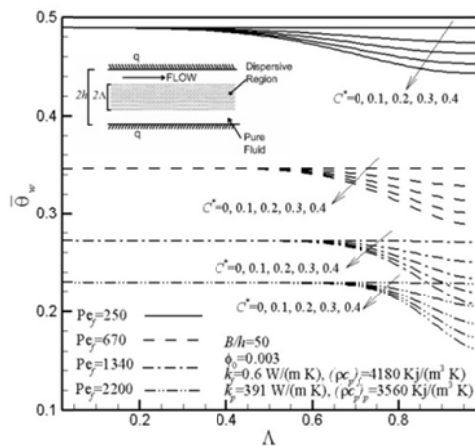
همچنین به منظور اعتبارسنجی بیشتر، نتایج حل حاضر با نتایج به‌دست آمده از مقاله خالد و وفایی [18] مقایسه می‌شود. نتایج به‌دست آمده برای تغییرات عدد ناسلت روی دیواره کانال در ناحیه توسعه‌یافته حرارتی ($X = 50$) با ضخامت منطقه تفرق حرارتی در آرایش مرکزی نانوذرات، در مقایسه با نتایج ارائه‌شده در مقاله خالد و وفایی [18]، در شکل (۶) ارائه شده است. همان‌طور که از این شکل دیده می‌شود توافق بسیار دقیق و نزدیکی بین این نتایج وجود دارد که صحت و دقت حل عددی حاضر را بیش از پیش مورد تأیید قرار می‌دهد.

تحلیل نتایج و بحث

همان‌طور که در بخش (۲) ذکر شد، حل این مسئله برای دو توزیع متفاوت نانوذرات و فرض پروفیل سهموی برای میدان سرعت انجام شده است. در توزیع مرکزی (شکل ۲)، منطقه‌ای مستطیل شکل به ارتفاع $2l$ حول خط مرکزی کانال شامل اثرات پراکندگی حرارتی (نانوذرات) و ناحیه باقی‌مانده شامل حرکت سیال خالص در نظر گرفته می‌شود. در توزیع مرزی

طرف دیگر نتیجه مستقیم افزایش عدد پکله، کاهش شدید گرادیان دما است. دلیل این است که گرادیان دمایی در نزدیکی خط مرکزی جریان با افزایش Pe_f کاهش می‌یابد که موجب کاهش اثرات پراکندگی حرارتی می‌شود.

در شکل (۹) تأثیر ضریب تفرق C^* بر عدد ناسلت در خروجی کانال (ناحیه توسعه یافته حرارتی) برای مقادیر مختلف ضخامت ناحیه تفرق (Λ) به ازای اعداد پکله مختلف نشان داده شده است.



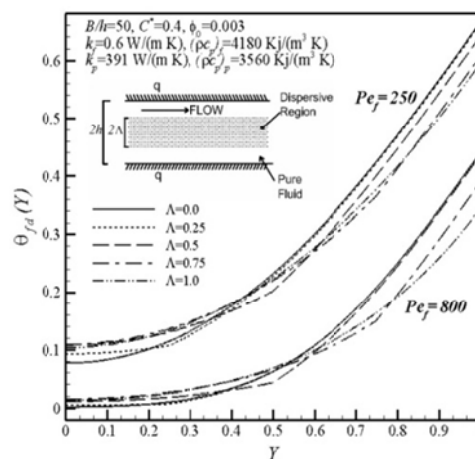
شکل ۸ تأثیرات ضریب تفرق حرارتی، عدد پکله و ضخامت منطقه تفرق بر دمای متوسط بی‌بعد دیواره کانال برای آرایش مرکزی

از آنجاکه مطابق رابطه سرمایش نیوتن، تغییرات عدد ناسلت با گرادیان دما رابطه عکس دارند، لذا انتظار می‌رود روند تغییرات عدد ناسلت عکس رفتار گرادیان دما در شکل (۷) باشد و همان‌طور که در شکل (۸) نیز دیدیم عدد ناسلت روی دیواره برای $Pe_f = 250$ در مقادیر Λ کمتر از ۰.۲ تقریباً بدون تغییر است، درحالی‌که این مقدار برای $Pe_f = 670$ تقریباً ۰.۳۷ است. همچنین مرز تغییرات دمای متوسط صفحه برای $Pe_f = 1340$ و $Pe_f = 2200$ به ترتیب حدوداً از اعداد ۰.۵ و ۰.۵۸ شروع می‌شود.

این اعداد مرزی دقیقاً با مقادیر شکل (۷) متناظر

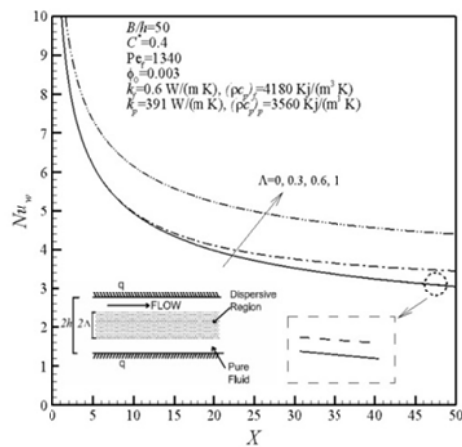
ناحیه توسعه یافته حرارتی داخل کانال به میزان زیادی کاهش می‌یابد. این روند باتوجه به کاهش ضریب هدایت حرارتی سیال قابل توجیه است.

در شکل (۸) تأثیر ضریب تفرق C^* بر درجه حرارت متوسط کل صفحه برای مقادیر مختلف ضخامت ناحیه تفرق (Λ) به ازای اعداد پکله مختلف نشان داده شده است. همان‌طور که دیده می‌شود دمای متوسط صفحه برای $Pe_f = 250$ در مقادیر Λ کمتر از ۰.۲ تقریباً بدون تغییر است، درحالی‌که این مقدار برای $Pe_f = 670$ تقریباً ۰.۳۷ است. همچنین مرز تغییرات دمای متوسط صفحه برای $Pe_f = 1340$ و $Pe_f = 2200$ به ترتیب حدوداً از اعداد ۰.۵ و ۰.۵۸ شروع می‌شود.

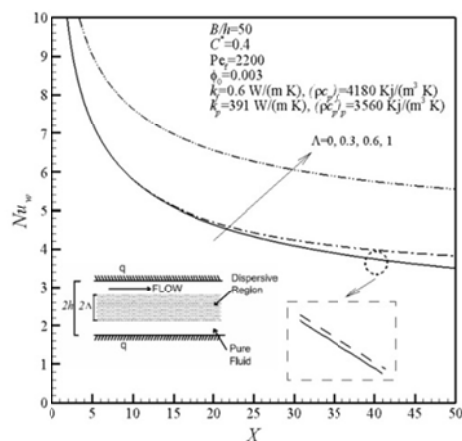


شکل ۷ تأثیر ضخامت منطقه تفرق حرارتی بر توزیع دمای بی‌بعد عرضی ناحیه توسعه یافته حرارتی برای آرایش مرکزی در اعداد پکله مختلف

حداکثر عدد ناسلت و یا همان حداقل درجه حرارت متوسط صفحه به ازای بیشترین مقدار ضریب تفرق اتفاق می‌افتاد که با افزایش بیشتر ضخامت ناحیه حضور نانو ذرات و نزدیک شدن این ناحیه به دیواره‌های کانال این رفتار دائماً تشدید می‌شود که باتوجه به تأثیرات ذرات نانو در افزایش ضریب انتقال حرارت، پدیده‌ای قابل پیش‌بینی است. از



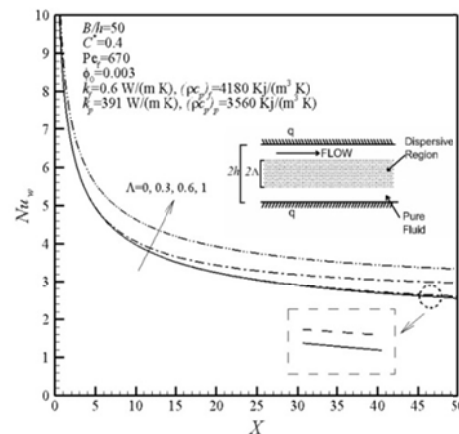
شکل ۱۱ تأثیر ضخامت منطقه تفرق حرارتی در آرایش مرکزی بر عدد ناسلت دیواره برای $Pe_f = 1340$ و آرایش مرکزی



شکل ۱۲ تأثیر ضخامت منطقه تفرق حرارتی در آرایش مرکزی بر عدد ناسلت دیواره برای $Pe_f = 2200$ و آرایش مرکزی

هستند. حداکثر عدد ناسلت روی دیواره و یا همان حداقل درجه حرارت متوسط صفحه به ازای بیشترین مقدار ضریب تفرق اتفاق می افتاد که با افزایش بیشتر ضخامت ناحیه حضور نانوذرات و نزدیک شدن این ناحیه به دیواره های کانال این رفتار دائماً تشدید می شود که با توجه به تأثیرات ذرات نانو در افزایش ضریب انتقال حرارت، پدیده ای قابل پیش بینی است. از طرف دیگر نتیجه مستقیم افزایش عدد پکله، افزایش عدد ناسلت روی دیواره است.

تغییرات عدد ناسلت روی دیواره از نقطه ورود تا خروج کانال به ازای مقادیر مختلف Λ در آرایش مرکزی نانوذرات در شکل های (۱۰-۱۲) به ترتیب برای اعداد پکله $Pe_f = 670$, $Pe_f = 1340$ و $Pe_f = 2200$ ارائه شده است.



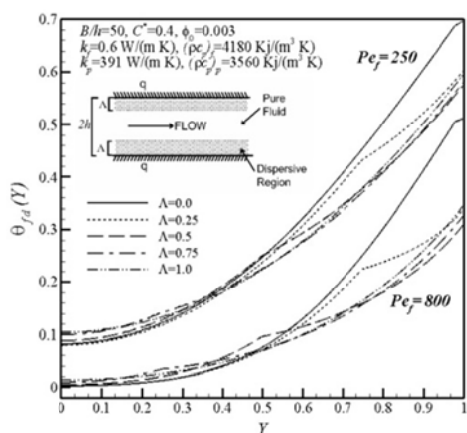
شکل ۱۰ تأثیر ضخامت منطقه تفرق حرارتی بر عدد ناسلت دیواره برای $Pe_f = 670$ و آرایش مرکزی

نکته دیگر این که با مقایسه شکل های (۱۰-۱۲) می توان نتیجه گرفت که افزایش عدد پکله، افزایش عدد ناسلت دیواره را در پی دارد که با توجه به توضیحات قبلی به خوبی قابل توجیه است.

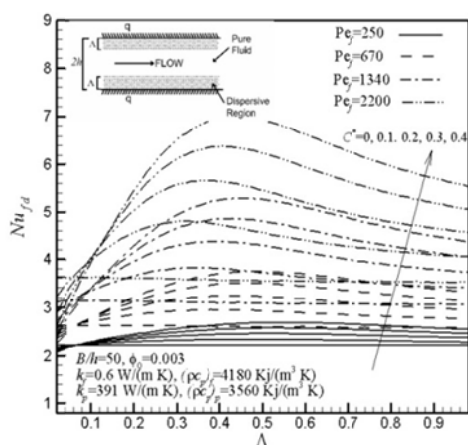
توزیع مرزی. توزیع عرضی گرادیان دما داخل کانال در ناحیه توسعه یافته حرارتی به ازای مقادیر مختلف ضخامت ناحیه تزریق نانوذرات (Λ) و اعداد پکله مختلف در شکل (۱۳) نشان داده شده است. دقیقاً مشابه با رفتار مشاهده شده در توزیع مرکزی در این

همان طور که مشاهده می شود به علت تأثیرات ناحیه ورودی از نقطه ورود تا ابتدای ناحیه توسعه یافته حرارتی عدد ناسلت دیواره به شدت کاهش می یابد، اما پس از ورود به بخش توسعه یافته حرارتی عدد ناسلت تقریباً به مقدار ثابتی خواهد رسید. افزایش عدد ناسلت دیواره در اثر افزایش ضخامت ناحیه حضور نانوذرات و نزدیک شدن این ناحیه به دیواره ها نیز به خوبی قابل مشاهده و توجیه پذیر است.

تمامی مقادیر Λ متفاوت است.



شکل ۱۴ تأثیرات ضریب تفرق حرارتی، عدد پکله و ضخامت منطقه تفرق بر دمای متوسط بی بعد دیواره کانال برای آرایش مرزی

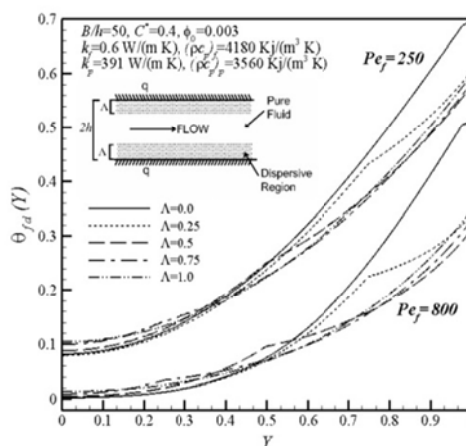


شکل ۱۵ تأثیرات ضریب تفرق حرارتی، عدد پکله و ضخامت منطقه تفرق بر عدد ناسلت ناحیه توسعه یافته حرارتی برای آرایش مرزی

دلیل فیزیکی این موضوع این است که در آرایش مرزی ذرات نانو از روی مرز صفحات تزریق می شوند، لذا تغییر ضخامت تزریق ذرات نانو از همان ابتدا موجب تأثیر بر ویژگی های حرارتی سیال از جمله دما و عدد ناسلت خواهد شد.

باتوجه به این که در آرایش مرزی برخلاف آرایش مرکزی تغییرات درجه حرارت متوسط صفحه و عدد

حالت نیز با افزایش ضخامت ناحیه حضور عناصر تفرق و نزدیک شدن این ناحیه به مرکز کانال، گرادینان دمای داخل کانال به علت حضور بیشتر نانو ذرات و افزایش ضریب انتقال گرما کم می شود. باز هم وضوح تفاوت شیب نمودارها در مرز بین ناحیه تفرق (نانو ذرات) و ناحیه حضور سیال خالص قابل توجه است. در این حالت نیز واضح است که با افزایش عدد پکله از $Pe_f = 250$ به $Pe_f = 800$ دمای عرضی نانو سیال در ناحیه توسعه یافته به علت کاهش ضریب هدایت حرارتی سیال، کاهش می یابد.

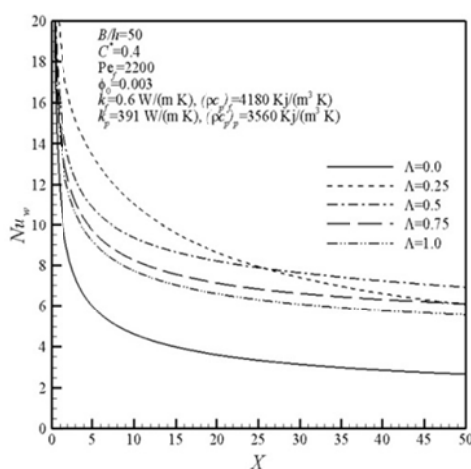


شکل ۱۳ تأثیر ضخامت منطقه تفرق حرارتی بر توزیع دمای بی بعد عرضی ناحیه توسعه یافته حرارتی برای آرایش مرزی در اعداد پکله مختلف

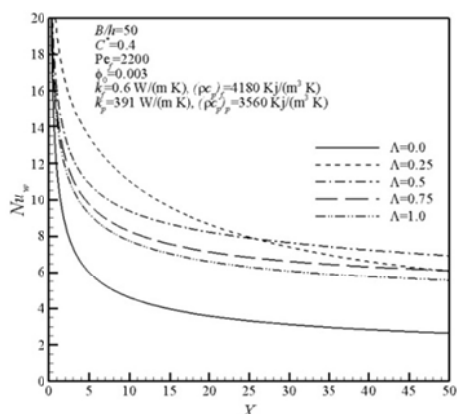
همچنین در شکل های (۱۴ و ۱۵) تأثیرات ضریب تفرق C^* به ترتیب بر درجه حرارت متوسط کل صفحه و عدد ناسلت در خروجی کانال (ناحیه توسعه یافته حرارتی) برای مقادیر مختلف Λ و Pe_f نشان داده شده است. مسئله حائز اهمیت در اینجا این است که برخلاف آرایش مرکزی که درجه حرارت متوسط صفحه (و متناظر با آن عدد ناسلت در ناحیه توسعه یافته حرارتی) در مقادیر کوچک تر Λ تقریباً بدون تغییر بود، در آرایش مرزی این مقادیر به ازای

روند شکل (۱۴) و توضیحاتی که در آن مورد داده شد، به خوبی قابل توجیه است.

به دلیل تأثیرات متضاد و اختلاطی رسانش ذرات نانو از یک سو و هدایت حرارتی جابه‌جایی ناشی از سرعت سیال از سوی دیگر، عدد ناسلت دیواره در اثر افزایش ضخامت ناحیه حضور نانوذرات و نزدیک شدن این ناحیه به مرکز کانال دارای تغییرات منظم و پیش‌بینی شده‌ای نمی‌باشد.

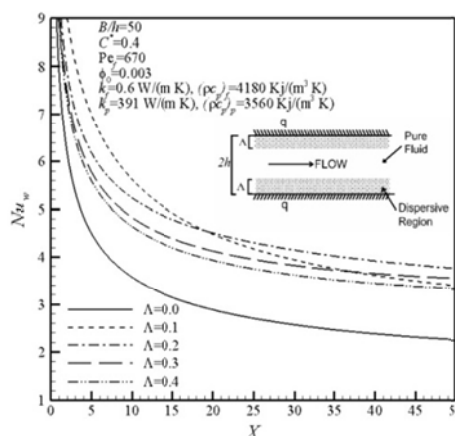


شکل ۱۷ تأثیر ضخامت منطقه تفرق حرارتی در آرایش مرزی بر عدد ناسلت دیواره برای $Pe_f = 2200$ و آرایش مرکزی



شکل ۱۸ تأثیر ضریب تفرق حرارتی بر توزیع دمایی بی‌بعد عرضی ناحیه توسعه یافته حرارتی برای کانال پر شده با تابع توزیع یکنواخت نانوذرات و $Pe_f = 670$

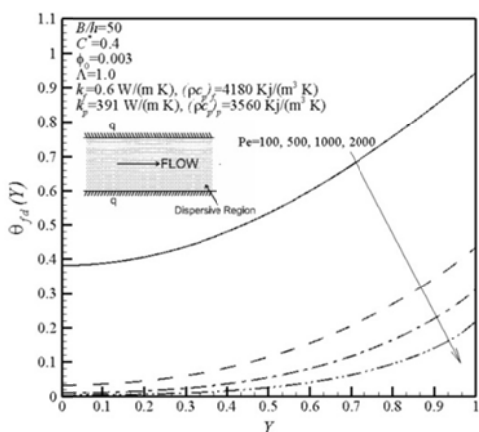
ناسلت خروجی با Λ به شکل یکنواخت نمی‌باشد، لذا در آرایش مرزی کمترین گرادیان دما و یا به عبارتی بیشترین عدد ناسلت خروجی به ازای مقدار خاصی از ضخامت ناحیه تفرق (Λ) اتفاق می‌افتاد. این مقدار بهینه Λ برای $Pe_f = 250$ در حدود 0.53 و برای $Pe_f = 670$, $Pe_f = 1340$ و $Pe_f = 2200$ به ترتیب در حدود 0.5، 0.4 و 0.36 می‌باشد. باز هم توجه به این نکته ضروری است که نتیجه افزایش عدد پکله، کاهش شدید گرادیان دما و افزایش عدد ناسلت می‌باشد.



شکل ۱۶ تأثیر ضخامت منطقه تفرق حرارتی در آرایش مرزی بر عدد ناسلت دیواره برای $Pe_f = 670$ و آرایش مرکزی

در شکل‌های (۱۶) و (۱۷) تغییرات عدد ناسلت روی صفحات کانال از نقطه ورود تا خروج به ازای مقادیر متفاوت Λ در آرایش مرزی به ترتیب برای اعداد پکله $Pe_f = 670$ و $Pe_f = 2200$ ارائه شده است. همان‌طور که ذکر شد، تأثیرات ناحیه ورودی از نقطه ورود تا ابتدای ناحیه توسعه یافته حرارتی عدد ناسلت دیواره را به شدت کاهش می‌دهد، اما پس از ورود به بخش توسعه یافته حرارتی عدد ناسلت تقریباً به مقدار ثابتی خواهد رسید. مقایسه شکل‌های (۱۶) و (۱۷) نشان می‌دهد که افزایش عدد پکله موجب افزایش قابل توجه عدد ناسلت دیواره می‌شود که با توجه به

توسعه یافته حرارتی به ازای مقادیر مختلف عدد پکله را در شکل (۲۰) می توان مشاهده کرد. از آنجاکه عدد پکله نسبت جابه جایی به هدایت (پخش) را در سیال بیان می کند و باتوجه به حضور نانوذرات داخل کانال، که موجب افزایش شدید قابلیت هدایت سیال می شود، لذا در این حالت با وجود شار گرمایی ثابت اعمال شده به جداره کانال، افزایش عدد پکله همراه با افزایش ویژگی های انتقال حرارتی سیال است که هم زمان موجب کاهش گرادیان دما می شود. این مطلب به خوبی در شکل (۲۰) قابل مشاهده است.

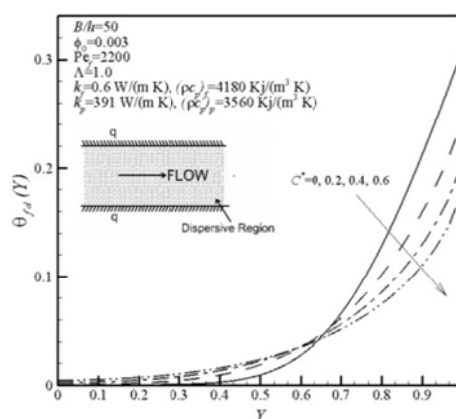


شکل ۲۰ تأثیر عدد پکله بر توزیع دمای بی بعد عرضی ناحیه توسعه یافته حرارتی برای کانال پر شده با تابع توزیع یکنواخت نانوذرات

همچنین در شکل های (۲۱-۲۳) تأثیرات ضریب تفرق (C^*) و کسر حجمی نانوذرات (ϕ_0) بر عدد ناسلت در خروجی کانال (ناحیه توسعه یافته حرارتی) برای اعداد پکله مختلف به ترتیب برای توزیع یکنواخت، سهموی و نمایی نانوذرات در داخل کل کانال نشان داده شده است.

مطابق با شکل (۲۱) با افزایش کسر حجمی نانوذرات در داخل کانال با توزیع یکنواخت، به علت افزایش قابل ملاحظه ضریب رسانش نانو سیال در اثر حضور نانوذرات بیشتر، افزایش چشم گیری در عدد ناسلت ناحیه توسعه یافته حرارتی کانال مشاهده

توزیع نانوذرات در کل کانال. در شکل های (۱۸) و (۱۹) پروفیل عرضی گرادیان دما داخل کانال اشباع شده از عناصر تفرق (نانوذرات) به صورت یکنواخت در ناحیه توسعه یافته حرارتی به ازای مقادیر مختلف ضریب تفرق C^* به ترتیب برای اعداد پکله $Pe_f = 670$ و $Pe_f = 2200$ ارائه شده است. باتوجه به این شکل ها واضح است که با حضور ذرات نانو در داخل سیال، افزایش ضریب تفرق موجب افزایش گرادیان دما در نیمه ابتدایی میدان جریان می شود، اما در نیمه دوم که با جداره کانال در ارتباط است کاهش شدید گرادیان دما را در اثر افزایش ضریب تفرق می توان مشاهده کرد به طوری که به ازای تمامی مقادیر C^* ، گرادیان دمای بی بعد در یک مختصات مشخص از لوله یکسان می باشد. مقایسه این شکل ها کاهش کلی دمای عرضی ناحیه توسعه یافته حرارتی داخل کانال را در اثر افزایش عدد پکله از $Pe_f = 250$ به $Pe_f = 800$ نشان می دهد. این روند باتوجه به کاهش ضریب هدایت حرارتی سیال در اثر افزایش عدد پکله قابل توجیه است.

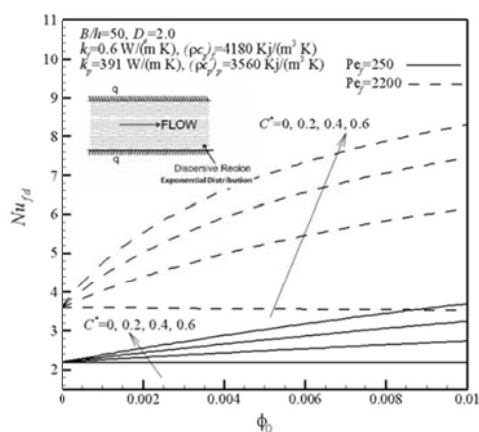


شکل ۱۹ تأثیر ضریب تفرق حرارتی بر توزیع دمای بی بعد عرضی ناحیه توسعه یافته حرارتی برای کانال پر شده با تابع توزیع یکنواخت نانوذرات و $Pe_f = 2200$

تغییرات توزیع عرضی گرادیان دما داخل کانال اشباع شده از نانوذرات به صورت یکنواخت در ناحیه

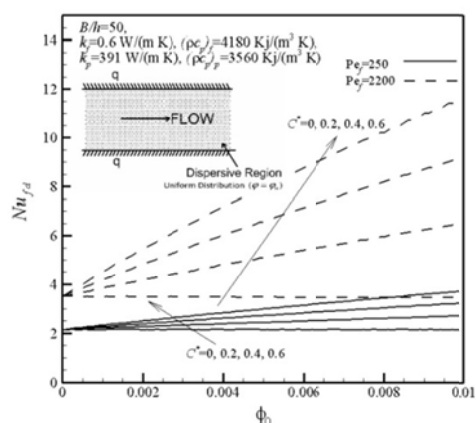
خروجی کانال (ناحیه توسعه یافته حرارتی) برای اعداد پکله مختلف، به ترتیب برای توزیع سهموی و نمایی نشان داده شده است. افزایش شدید عدد ناسلت و قابلیت انتقال حرارت جریان سیال در اثر افزایش کسر حجمی نانوذرات و ضریب تفرق، مطابق با آنچه بحث شد، قابل پیش بینی و توجیه پذیر است.

به عبارت دیگر افزایش هر کدام از شاخص های کسر حجمی نانوذرات و ضریب تفرق به مفهوم حضور گسترده تر ذرات ریز دارای هدایت حرارتی بالا است که موجب افزایش قدرت انتقال حرارت سیال خواهد شد و این مطلب به خوبی در شکل های (۲۲ و ۲۳) قابل مشاهده است. مسئله حائز اهمیت در اینجا این است که برخلاف توزیع سهموی که افزایش عدد ناسلت تقریباً به شکل خطی صورت می گیرد، در توزیع نمایی و به خصوص به ازای مقادیر بزرگ تر ضریب تفرق، افزایش عدد ناسلت رفتاری غیر خطی دارد که مهم ترین وجه تمایز این دو تابع توزیع می باشد. همان طور که دیده می شود همانند توزیع یکنواخت، در توزیع سهموی و نمایی نیز با افزایش عدد پکله به علت افزایش قدرت جابه جایی، عدد ناسلت افزایش می یابد.

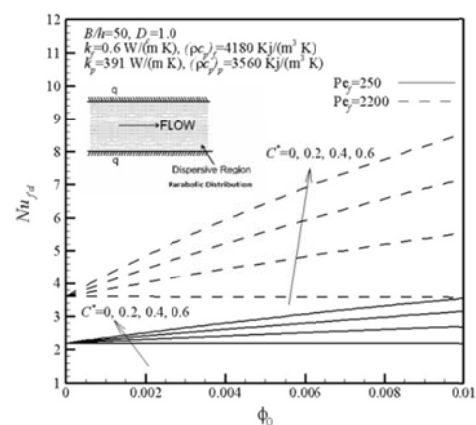


شکل ۲۳ تأثیرات ضریب تفرق و کسر حجمی عناصر تفرق بر عدد ناسلت دیواره در ناحیه توسعه یافته حرارتی به ازای اعداد پکله مختلف برای تابع توزیع نمایی نانوذرات

می شود. همچنین با افزایش ضریب تفرق حرارتی، مطابق با رابطه (۴)، هدایت حرارتی مؤثر نانوسیال افزایش می یابد، لذا قابلیت انتقال حرارت و عدد ناسلت افزایش می یابد. ضمناً مطابق با انتظار با افزایش عدد پکله به علت افزایش قدرت جابه جایی، عدد ناسلت افزایش می یابد.



شکل ۲۱ تأثیرات ضریب تفرق و کسر حجمی عناصر تفرق بر عدد ناسلت دیواره در ناحیه توسعه یافته حرارتی به ازای اعداد پکله مختلف برای تابع توزیع یکنواخت نانوذرات



شکل ۲۲ تأثیرات ضریب تفرق و کسر حجمی عناصر تفرق بر عدد ناسلت دیواره در ناحیه توسعه یافته حرارتی به ازای اعداد پکله مختلف برای تابع توزیع سهموی نانوذرات

همچنین در شکل های (۲۲ و ۲۳) تأثیرات ضریب تفرق و کسر حجمی نانوذرات بر عدد ناسلت در

نتیجه گیری

در این مقاله بهبود در پدیده انتقال حرارت داخل کانال پر شده از سیال با ویژگی های تفرق حرارتی متفاوت، مورد مطالعه قرار گرفت. توزیع های مختلفی را می توان برای عناصر تفرق یا همان نانوذرات در نظر گرفت. نانوذرات را می توان به شکل یکنواخت در کل کانال، یا اطراف خط مرکزی کانال و یا در نزدیکی مرز یا جداره کانال تزریق کرد. همچنین توابع توزیع متفاوتی همچون سهموی و نمایی را به جای توزیع یکنواخت برای پخش نانوذرات داخل کانال می توان مورد بررسی قرار داد. همان طور که دیده شد، نتیجه مهمی که حضور نانوذرات در داخل سیال در بر دارد، افزایش کلی عدد ناسلت و در نتیجه ویژگی های انتقال حرارتی سیال است که پیش از این نیز قابل پیش بینی بود؛ اما توجه به ساختار و توزیع تزریق ذرات نانو و اثرات آن بر ویژگی های حرارتی نتیجه مهم تری از این پژوهش است. با توجه به نتایج ارائه شده افزایش ضخامت نانوذرات تزریق شده در توزیع مرکزی از خط مرکزی لوله تا رسیدن به حالت اشباع تا جداره های کانال، به صورت یکنواخت موجب افزایش عدد ناسلت و قابلیت انتقال حرارت سیال می شود؛ اما در توزیع مرزی افزایش ضخامت نانوذرات تزریق شده از روی جداره کانال تا رسیدن به خط مرکزی کانال، روندی به شکل صعودی- نزولی به عدد ناسلت خواهد داد، لذا در این توزیع مقدار خاصی از ضخامت را برای نانوذرات تزریق شده در کنار مرز لوله می توان به عنوان مقدار بهینه معرفی کرد که منجر به بیشترین عدد ناسلت خواهد شد. از طرف دیگر، در آرایش مرکزی عدد ناسلت در ناحیه توسعه یافته حرارتی به ازای ضخامت های کوچک نانوذرات تزریقی بدون تغییر می باشد، در حالی که در آرایش مرزی عدد ناسلت در تمامی ضخامت های نانوذرات تزریقی از همان ابتدا متغیر است. دلیل فیزیکی این موضوع این است که در آرایش مرزی ذرات نانو از روی مرز صفحات تزریق می شوند، لذا تغییر ضخامت تزریق ذرات نانو از همان ابتدا موجب تأثیر بر عدد ناسلت خواهد شد. همچنین

مقایسه دو تابع توزیع سهموی و نمایی برای تزریق نانوذرات در کانال نشان می دهد که تزریق سهموی نانوذرات موجب افزایش خطی عدد ناسلت می شود در حالی که تزریق نانوذرات با توزیع نمایی افزایش عدد ناسلت را به صورت غیرخطی به همراه دارد. نکته قابل توجه دیگری که می توان به آن اشاره کرد این است که فارغ از نوع توزیع نانوذرات، با افزایش عدد پکله و به علت افزایش قدرت جابه جایی جریان نانوسیال، عدد ناسلت در ناحیه توسعه یافته افزایش می یابد.

فهرست علائم

B	طول کانال
C^*	ضریب تفرق حرارتی (وابسته به ویژگی عناصر تفرق)
c_p	حرارت مخصوص
D_c	شاخص اندازه ذرات در توزیع سهموی
D_e	شاخص اندازه ذرات در توزیع نمایی
h	نصف عرض کانال
h_c	ضریب انتقال حرارت جابه جایی
k	ضریب هدایت حرارتی
k_0	ضریب هدایت حرارتی ایستایی مؤثر نانوسیال
l	نصف ضخامت منطقه تزریق نانوسیال (منطقه تفرق حرارتی)
Nu	عدد ناسلت
Pe	عدد پکله
Pr	عدد پرانتل
q	شار حرارتی ثابت روی دیواره های کانال
T	دما
T_1	دمای ورود سیال به کانال
u	سرعت محوری
U	سرعت محوری بی بعد

مختصات محوری	x	φ	کسر حجمی عناصر تفرق (نانوذرات)
مختصات محوری بی‌بعد شده	X	φ_0	کسر حجمی عناصر تفرق وقتی به شکل
مختصات عرضی	y		یکنواخت کل کانال را پر کرده‌اند
مختصات عرضی بی‌بعد شده	Y	Λ	ضخامت بی‌بعد منطقه تفرق
علائم یونانی		زیر نویس‌ها	
دمای بی‌بعد	θ	f	سیال خالص (عاری از نانوذرات)
دمای بی‌بعد حجمی متوسط	θ_m	m	مقدار متوسط
دمای بی‌بعد دیواره کانال	θ_w	nf	نانوسیال
چگالی	ρ	p	ذرات

مراجع

1. Yang, Y., "Characterizations and Convective Heat Transfer Performance of Nanofluids", Ph. D thesis, Lehigh University, UMI Publisher, Ann Arbor, (2011).
2. Xuan, Y. and Qiang, Li., "Investigation on Convective Heat Transfer and Flow Features of Nanofluids", *Journal of Heat Transfer*, Vol. 125, No. 1, pp. 151-155, (2003).
3. Williams, W., Bourgiorno, J. and Hu, J., "Experimental Investigation of Turbulent Convective Heat Transfer and Pressure Loss of Alumina/Water and Zirconia/Water Nanoparticle Colloids (Nanofluid) in Horizontal Tubes", *Journal of Heat Transfer*, Vol. 130, No. 4, pp. 42-48, (2008).
4. Rea, U., Mc rell, T. and Hu, L., "Laminar convective heat transfer and viscous pressure loss of alumina-water and zirconia-water nanofluids", *International Journal of Heat and Mass Transfer*, Vol. 52, pp. 2042-2048, (2008).
5. Fotukian, S.M. and Nasr Esfahany, M., "Experimental study of turbulent convective heat transfer and pressure drop of dilute CuO/water nanofluid inside a circular tube", *International Communications in Heat and Mass Transfer*, Vol. 37, pp. 214-219, (2010).
6. Pak, B. and Cho, Y.I., "Hydrodynamic and heat transfer study of dispersed fluids with submicron metallic oxide particle", *Experimental Heat Transfer*, Vol. 11, pp. 151-170, (1998).
7. Bianco, V., Manca, O. and Nardini, S., "Numerical investigation on nanofluids turbulent convection heat transfer inside a circular tube", *International Journal of Thermal Sciences*, Vol. 50 pp. 341-349, (2011).
8. Behzadmehr, A., Saffar-Avval, M. and Galanis, N., "Prediction of turbulent forced convection of a nanofluid in a tube with uniform heat flux using a two phase approach", *International Journal of Heat and Fluid Flow*, Vol. 28, pp. 211-219, (2007).
9. Yu, W., France, D.M., Timofeeva, E.V., Singh, D. and Routbort, J.L., "Convective Heat Transfer of Nanofluids in Turbulent Flow", *Proceedings of Carbon Nano Materials and Applications Workshop*, Rapid city, USA, pp. 118-129, October 30 -November 1, (2011).
10. Xuan, Y. and Roetzel, W., "Conceptions for heat transfer correlation of nanofluids", *International Journal of Heat and Mass Transfer*, Vol. 43, pp. 3701-3707, (2000).
11. Chang, P.Y., Shiah, S.W and Fu, M.N., "Mixed convection in a Horizontal square packed-sphere channel under axially uniform heating peripherally uniform wall temperature", *Numerical Heat Transfer*, Vol. 45, pp. 791-809, (2004).

12. Hancu, S., Ghinda, T., Ma, L., Lesnic, D. and Ingham, D.B., "Numerical modeling and experimental investigation of the fluid flow and contaminant dispersion in a channel", *International Journal of Heat and Mass Transfer*, Vol. 45, pp. 2707-2718, (2002).
13. Kuznetsov, A.V., Cheng, L. and Xiong, M., "Effects of thermal dispersion and turbulence in forced convection in a composite parallel-plate channel: investigation of constant wall heat flux and constant wall temperature cases", *Numerical Heat Transfer*, Vol. 42, pp. 365-383, (2002).
14. Gunn, D.J., "An analysis of convective dispersion and reaction in the fixed-bed reactor", *International Journal of Heat and Mass Transfer*, Vol. 48, pp. 2861-2875, (2004).
15. Metzger, T., Didierjean, S. and Maillet, D., "Optimal experimental estimation of thermal dispersion coefficients in porous media", *International Journal of Heat and Mass Transfer*, Vol. 47, pp. 3341-3353, (2004).
16. Amiri, A. and Vafai, K., "Analysis of dispersion effects and non-thermal equilibrium non-Darcian, variable porosity incompressible flow through porous medium", *International Journal of Heat and Mass Transfer*, Vol. 37, pp. 939-954, (1994).
17. Li, Q. and Xuan, Y., "Convective heat transfer and flow characteristics of cu-water nanofluid", *Science in China (Series E)*, Vol. 45, pp. 408-416, (2002).
18. Khaled, A.R.A. and Vafai, K., "Heat transfer enhancement through control of thermal dispersion effects", *International Journal of Heat and Mass Transfer*, Vol. 48, pp. 2172-2185, (2005).
19. Shahnazari, M.R., Ziabasharhagh, M. and Talsaz, H., "Comparison of Thermal Dispersion Effects for Single and Two Phase Analysis of Heat Transfer in Porous Media", *International Journal of Engineering-Transactions B: Applications*, Vol. 24, No. 1, pp. 81-91, (2011).
20. Kameswaran, P.K. and Sibanda, P., "Thermal dispersion effects on convective heat and mass transfer in an Ostwald de Waele nanofluid flow in porous media", *Boundary Value Problems*, Vol. 27, pp. 243-270, (2013).
21. Wasp, F.J., "Solid-liquid Slurry Pipeline Transportation", Trans. Tech., Berlin, (1977).
22. Blottner, F.G., "Finite-difference methods of solution of the boundary-layer equations", *AIAA Journal*, Vol. 8, pp. 193-205, (1970).

